表 2 ES生物烯丙菊酯原药子一代生长情况表

中国工业医学杂志

出生	组别	窝重	仔鼠体重		
天数		(g)	(g)	(an)	(cm)
第 4 天	对照组	123. 9 ±17. 0	9. 36±0. 95	5. 8±0. 2	2. 2±0. 2
	低剂量组	121. $5 \pm 18. 5$	9. 66 ± 1 . 25	5. 8±0. 3	2. 1 ±0. 2
	中剂量组	118.5 \pm 19.5	9. 70±1. 11	5. 9±0. 3	2. 2 ±0. 2
	高剂量组	105. 8 ±25. 0*	9. 27±1. 56	5. 8±0. 3	2. 1 ±0. 2
第 7 天	对照组	124.0±9.6	15. 5 ± 1 . 6	6. 8 ± 0 . 3	2.8±0.2
	低剂量组	127. 7 \pm 14. 4	16. $0\pm 2. 0$	6. 8±0. 3	2.9±0.2
	中剂量组	128.0 \pm 12.8	16. $0\pm 2. 0$	6. 8±0. 3	3. 0±0. 3
	高剂量组	116.8 ±20.2	15. 0±2. 6	7. 0±4. 2	2. 9±0. 3
第 14 天	对照组	255. 5 ±17. 0	32.0±2.6	8. 9±0. 4	4. 6±0. 3
	低剂量组	258. 4 ± 23 . 8	32. 3±3. 4	9. 1±0. 4	4. 4±0. 3
	中剂量组	262.7 \pm 33.2	32. 2 ± 3 . 3	9. 2±0. 5	4. 5±0. 3
	高剂量组	240. 2 ±22. 3	30 9 ±3. 5 *	* 9. 1±0. 9	4. 4±0. 4
第 21 天	对照组	418.6 ±27.5	52. 4±4. 2	11. 1 ±0. 5	6.8 ±0.5
	低剂量组	416. 5 ±37. 5	52. 2±5. 3	12. 2±10. 4	6. 5±0. 5
	中剂量组	419. 8 ±29. 1	52. 5±4. 5	11. 0 ±0. 5	6.6±0.5
	高剂量组	397.7 \pm 51.8	51. 2±5. 4	10.8 ±0.6	6. 4±0. 6

注: 与对照组比较, * 尺0.05 * * 尺0.01。

2.4 病理学检查

亲代及子代雌、雄动物大体解剖观察和脏器的病理组织 学检查未见有毒理学意义的改变。

3 讨论

本试验结果表明,在 ES生物烯丙菊酯原药实验剂量达到 $70~{\rm mg/}$ (kg° d)时对亲代、子代大鼠的交配成功率、受孕率、活产率、出生存活率及哺育成活率等繁殖发育功能未造成明显影响。在实验期间观察到雌雄动物出现震颤、流涎中毒表现、少数动物死亡,表明实验在 $70~{\rm mg/}$ (kg° d) 的设计剂量

下引起了亲代中毒,在这样高的剂量下得出对生殖系统无毒性作用的结论是可靠的。本试验得到的对生殖机能和子代发育的 NOAEL为 70 mg/ (kg·d) 这与美国 EPA^[4]报道的大鼠两代繁殖毒性试验的 NOAEL为 50.4 mg/ (kg·d) 接近。众所周知,拟除虫菊酯类农药毒性作用的靶器官是神经系统,其机制是通过延迟神经膜钠离子通道的关闭,使神经细胞处于去极化状态而兴奋性增高,动物出现兴奋、步态蹒跚、抽搐、震颤和流涎等^[3],本研究也证实了这一毒性作用。值得注意的是本研究中亲代高剂量组雄性大鼠血红蛋白含量和雌性大鼠中、高剂量组红细胞计数以及子一代雄性大鼠高剂量组的红细胞计数与对照组比较差异均有统计学意义,提示大鼠在亚慢性接触情况下可能会对血液的红细胞系造成危害^[4]。

曾有报道,烯丙菊酯原药可引起子代行为改变¹³。 可见,要阐明 ES生物烯丙菊酯原药的安全性,还需要作进一步研究。 参考文献:

- [1] 中国农业百科全书编辑部. 中国农业百科全书,农业卷 [M]. 北京:农业出版社,1993,26-27
- [2] 谢广云,崔涛,孙金秀,等. E*生物烯丙菊酯大鼠致畸毒性试验研究[J.中华卫生监督与健康杂志,2005 (4): 12-13
- [3] Eriksson P. Fredriksson A. Neurotoxic effects of two different pyrethricods bioallethrin and deltamethrin on immature and adult mice changes in behavioral and muscarinic receptor variables [J]. Toxicol APPl Phamacql 1991, 108 (1): 78-85.
- [4] US EPA eshiothria Pesticide Petition Filing [Z]. Federal Register October 15 1999 164 (199): 55914-55921
- [5] IPCS Environmental Health Criteria 87. Allethrins Allethrin d-Allethrin Bioallethrin Bioallethrin Mi. Geneva WHO 1989. 39-45
- [6] 黄建勋,李红艳,梁丽燕、等. 右旋反式烯丙菊酯慢性经口毒性实验研究[1]. 中国职业医学,2003, 30 (4): 9-11

甲醛对淋巴细胞亚型影响及机制研究

Study on effect of form aldehyde on subtype of lym phocyte and its mechan im

翟玲玲¹,徐兆发¹,赵剑² ZHAILing ling, XV Zhao A, ZHAO Jian

(1 中国医科大学公共卫生学院, 辽宁 沈阳 110001, 2 沈阳药科大学 GLP中心, 辽宁 沈阳 110016)

摘要:采用牌细胞体外研究方法,用流式细胞仪法进行小鼠淋巴细胞亚型、细胞凋亡及细胞周期的检测。结果显示,随着甲醛浓度的升高, $CD_4^+CD_8^-$ 细胞百分数呈先降低再升高的趋势,与对照组比较差异无统计学意义;细胞亚群 $CD_4^-CD_8^+$ 细胞百分数下调;20. 100和 500 μ mol/L 剂量组细胞凋亡发生率显著高于对照组;与对照组相比,500 μ mol/L 组 G0/G1 细胞明显减少,S期细胞明显增多,而 G2/M 期细

关键词: 体外实验; 甲醛; 细胞凋亡; 细胞周期中图分类号: R994.6 文献标识码: B文章编号: 1002-221 X(2011)01-0044-03

甲醛导致的免疫系统损伤和功能障碍,可以在临床上引起多种免疫相关的疾病。有研究发现,接触甲醛后,机体中 CD_4^+ 、 CD_8^+ 细胞以及 CD_4^+ / CD_8^+ 的比值均明显下降 $^{[1]}$ 。有研究认为这些免疫损伤与免疫细胞的凋亡有关 $^{[2]}$,但究竟甲醛

收稿日期: 2010-06-28

作者简介: 翟玲玲 (1977—), 女, 讲师, 博士在读, 从事室内空气污染对人群健康影响研究。

通讯作者:徐兆发, Email zku@mail cmu edu cn. 对免疫系统影响及损伤机制如何还不是很清楚,值得我们进 ?1994-2017 China Academic Journal Electronic Publishing House. All rions reserved (1994-2017)

一步的研究。

1 材料与方法

1.1 试剂与仪器

试剂: 甲醛(分析纯)用双蒸水配置成 0. 0.8 4.20.100 500 μ m ol/ L浓度备用; Hanks液 (PH).2), 1640 完全培养液 (含 10% 小牛血清、青霉素 100 U/ml 链霉素 100 μ g/ml); 单克隆抗小鼠 CD₃-PerCP-C 5.5.CD₄-PE CD₈-FIIC购自 eBicnscience公司。Annexin V-FIIC试剂盒、细胞周期试剂盒,南京凯基公司;FACSCAN流式细胞仪,美国 Becton Dick ison公司。

1.2 动物分组与染毒

实验动物:健康成年 【CR清洁级昆明种小鼠 15只,体重 (20 ± 2) 8 由中国医科大学实验动物中心提供,自由饮食进水,自然光照。实验分组:加终浓度分别为 0 (对照组:加不含任何处理因素的培养液 λ 0.8 4 20 100 500μ mol L 甲醛处理细胞至实验结束。

1.3 测定指标

1.3 1 淋巴细胞亚型检测 将 PerCP-CS. 5-CD3 抗体、 FIIC-CD8 抗体和 PE-CD4 抗体,加入各待测流式管,各管加入等量细胞悬液, 10^6 细胞混匀。在冰箱($4^{\circ}C$)中避光培养 20° 加护 各管加入 2° 图 10° 细胞混匀。在冰箱(10° 中避光培养 10° 四 10°

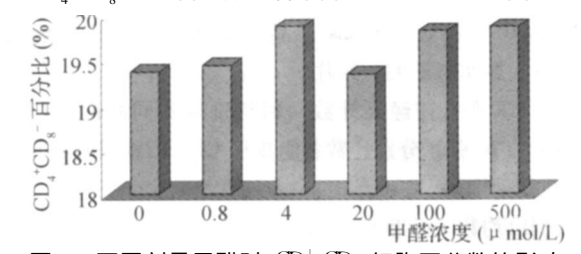
1.32 细胞凋亡和细胞周期检测 按照试剂盒说明书进行操作,用流式细胞仪进行检测。

1. 4 统计方法

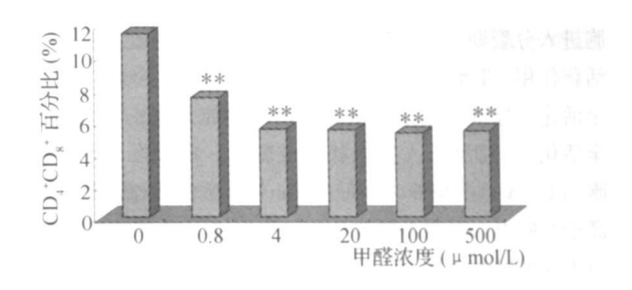
所有数据用均数 \pm 标准差 $(^{x}\pm ^{s})$ 表示。实验数据采用 SPSS[3.0进行统计处理,组间差异采用 One_{way} ANOVA分析,之后采用 SNK法进行两两比较,检验水准 $\alpha=0.05$ 2 结果

2.1 甲醛体外染毒对小鼠脾 T淋巴细胞亚型的影响

随着甲醛浓度的升高, $CD_4^+ CD_8^-$ 细胞百分数以先降低再升高的趋势,呈 V型;细胞亚群 $CD_4^- CD_8^+$ 细胞百分数下调,与对照组比较,500 μ mo γ L剂量组 $CD_4^- CD_8^+$ 细胞百分数与对照组相比减少 56 03%,差异有统计学意义 (P< 0 01),其它各剂量组 $CD_4^- CD_8^+$ 细胞百分数显著下降 (P< 0 01)。 见图 1、2



21 图 4_2不同剂量用醛对 CD+CD-细胞百分数的影响Publishing House. All rights reserved.



° 45°

注: 与对照组比较, * P<0.01

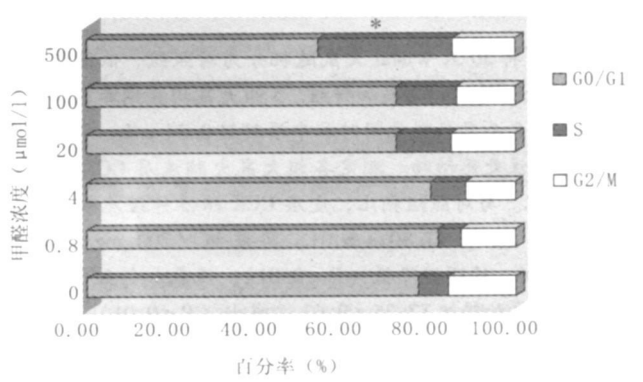
图 2 不同剂量甲醛对 $CD_4^- CD_8^+$ 细胞百分数的影响

2.2 甲醛体外染毒引起 T淋巴细胞凋亡情况

随着甲醛浓度的增加,各剂量组的细胞凋亡率也随之升高。 0.8 4 20 100和 500 μ m이/L剂量组细胞凋亡发生率分别为(10. 20 ± 5 27)%、(9. 80 ± 6 77)%、(14. 29 ± 5 94)%、(16. 97 ± 1 95)%、(19. 57 ± 5 99)%。其中 20. 100和 500 μ m이/L剂量组细胞凋亡发生率显著高于对照组(5. 33 ± 0 61)%, P<0 05或 P<0 01

2.3 甲醛体外染毒引起 T淋巴细胞周期变化情况

共育 48 h后,与对照组相比。 $500 \, \mu$ mol/L组 G0/G1 细胞明显减少, S期细胞明显增多,而 G2/M 期细胞基本不变,见图 3.



注: 与对照组同期比, * P< 0.05。

图 3 甲醛体外染毒引起 T淋巴细胞周期变化情况

3 讨论

正常情况下, T细胞及其亚群的数目在周期组织中相对稳定。机体维持正常的免疫功能状态,有赖于各种免疫细胞,特别是各类 T细胞亚群之间的相互协作或相互制约。 CD_4^+ T 和 CD_8^+ T淋巴细胞的数目或比值发生改变(< 1.0 或> 2.0 入可导致免疫调节功能异常,且其失调是许多疾病的主要特征 $(^3)$ 。本实验发现随甲醛染毒剂量的升高, $(^3)$ 企为 $(^4)$ T细胞百分数变化不大,呈现先升高后下降的趋势,结果导致 $(^4)$ (

本次实验发现,与对照组相比,不同剂量甲醛实验组 G_0/G_1 期细胞相对减少,S期明显相对增多,而 G_2/M 期细胞数基本不变,由此可见不同剂量甲醛可能会诱导静止期细胞进入 DNA复制和蛋白质合成期(S期),但却不能最终使细g House, All rights reserved. http://www.cnki.net

胞进入分裂期 (G_2/M 期),不同剂量甲醛可能具有不完全的 活化作用。 Т细胞活化后有两种不同结果, 一是 T细胞的完 全活化, 导致 [细胞的增殖并发挥功能效应; 另一种是不完 全活化, 丁细胞进入无能状态或凋亡。本文发现当体外脾细 胞用 ConA刺激培养时,每个 ConA刺激组脾细胞凋亡率显著 高于对照组, 说明不同剂量的甲醛促进了脾淋巴细胞的凋亡。 由于脾淋巴细胞是不均一的细胞群体,其接受活化信号刺激 的应答也不相同,本实验 (1) 细胞百分数下降显著,提示可 能 (1)8+ T细胞在体外甲醛作用下凋亡数量增加。一般认为, 在体外绝大多数不成熟的 CD_{4}^{+}/CD_{6}^{+} 细胞接受刺激信号后进 入凋亡[4],是否甲醛促进了这两群细胞的凋亡,或主要促进 CD⁺ 细胞凋亡,这对 T细胞研究将有重要意义。

参考文献:

- [1] Ying Chen Jiang Ye Xiao Lei Xie Hong et al Lym Phocyte subsets and sister chromatid exchanges in the students exposed to formalde. hyde vapour [J. Biomedical and Environmental Sciences 1999 12 (2); 88-94.
- [2] SulD Kim H Oh E et al Gene expression profiling in lung tis. sues from rats exposed to formaldely de []. Arch Toxicol 2007 81 (8): 589-597.
- [3] 龚非力. 医学免疫学 [M]. 北京: 科学出版社, 2000, 95-96
- [4] Christopher AS Gwyn TW, i Rose tta Kingston et al Antibodies to CD_3/T cell receptor complex induce death by apoptosis in immature Tcells in thymic cultures [J]. Nature, 1989, 377 (6203). 181-184.

牛磺酸锌对长期染氟大鼠皮层胆囊收缩素阳性神经元的保护作用

Protective effect of taurine zinc on cholecystokin in Positive neurons

of cortex in long term fluoride exposed rat

周红军1,张戟风1,李积胜2 ZHOU Hong jun, ZHANG Ji feng, LI Ji sheng

(1. 沧州医专中医教研室, 河北 沧州 061001: 2 武警医学院军事预防医学研究所, 天津 300162)

氟组、低氟加锌组和高氟加锌组。5组大鼠均在饲养前 5 例 单纯给氟, 5 / 月后给氟同时加牛磺酸锌 0.34 8/ 4, 喂养至第 6 个月后灌注处死动物。 测定各组大鼠大脑皮层 CCK阳性神 经元的变化。与对照组相比, 皮层 CCK阳性神经元数低氟组 (100 mg/L NaF) 71. 80 ± 6.01 高 氟组 (200 mg/L NaF)71. 20 ± 8 36 均明显降低 (P<0.01); 低氟加锌组 78. $20\pm$ 10. 32和高氟加锌组 77. 35 \pm 8. 62亦减少 (P<0. 01); 两两比 较,高氟加锌组较高氟组明显升高 (P<0.01),低氟加锌组 较低氟组亦明显升高 (P<0.01)。提示不同浓度染氟均能使 皮层 CCK蛋白表达减少, 且与染氟剂量成正相关; 补锌后能 明显改善皮层 CCK蛋白表达减少。

关键词: 氟化钠; 胆囊收缩素; 皮层 中图分类号: R994.6 文献标识码: B 文章编号: 1002-221 X(2011) 01-0046-02

许多研究证实,摄入过量氟可致机体多个系统损伤,有 文献报道长期摄入 大剂 量氟 可造成 动物 大脑直 接损 伤,包括 神经细胞和神经纤维的退行性变或细胞凋亡[1,2], 而脂质过氧 化作用被普遍认为是氟中毒的重要机制之一[3]。 因此,探讨 抗过氧化物质对氟中毒的影响日益受到重视。锌是机体必需 的微量元素,已有研究证实锌具有抗脂质过氧化作用[45],为 了寻求拮抗氟中毒的新型锌制剂, 有效预防和治疗氟中毒, 特进行了本研究。

1 材料与方法

1.1 动物分组及饲喂方法

选用 6周龄的 Wistar大鼠、体重 (25 ± 3) § 由天津市 实验动物中心提供。共 30只随机分为 5组, 每组 6只, 即对 照组, 自由饮用自来水; 低氟组, 自由饮 100 mg/L的氟化钠 (天津市化学试剂三厂)溶液; 高氟组, 自由饮 200 mg/L的 氟化钠溶液;低氟加锌组和高氟加锌组均在饲养前5个月单 纯给氟, 5个月后给氟同时加牛磺酸锌 0.34 學 L 喂养至第 6 个月后灌注处死动物。

1. 2 实验方法

- 1.21 取材和切片 每只大鼠经 0.4% 戊巴比妥钠腹腔麻醉 后,从左心室快速依次灌注生理盐水 100~150 m.l 4 ℃的 4% 多聚甲醛 500 m,1 于 30~40 m in灌毕。迅速取脑置 4 ℃的 同样固定液中固定 7~9 h后移入 20% 蔗糖浸泡 12 h以上。恒 冷箱冰冻切片 (50 µ m), IH7. 4的 0.01 mol/L磷酸盐缓冲液 (PBS) 切片, 切片进行 ABC免疫组化反应。
- 1. 2 2 免疫组化染色 切片移入 Tripn_H, O, 中 37 ℃、30 min后用 PBS漂洗, 再用 3%正常羊血清封闭 30 min 然后加 CCK抗体 (1:2000 Sigma产品) 4 ℃孵育 72 b 漂洗后加 二抗孵育 60 min 漂洗, 然后入卵白素生物素酶复合物 (ABC Vector公司) 孵育 60 m in 用 0.05% 二氨基联苯胺 (DAB) 0.01% H.O. (Sigma产品) 显色, 镜下控制孵育强 度, 裱片、脱水、透明、封片。
- 1.23 CCK阳性神经元计数 每组选取相同断面皮层结果 清晰的脑片 20张, 分别计数各组皮层 CCK阳性细胞数目。

1.3 数据处理

数据以均数 ±标准差 (¬x±s) 表示, 输入 SPSS 11.5统计 ?作为第分1月红军(1979—)。男 古治医师Electronic Publishing House. All rights reserved. http://www.cnki.net

收稿日期: 2010-05-06 修回日期: 2010-06-28